

ЭФФЕКТЫ ДИНАМИЧЕСКОЙ ДИФРАКЦИИ В КОГЕРЕНТНОМ ИЗЛУЧЕНИИ РЕЛЯТИВИСТСКИХ ЭЛЕКТРОНОВ В ПЕРИОДИЧЕСКОЙ СЛОИСТОЙ СРЕДЕ

А.В. Носков¹⁾, С. В. Блажевич²⁾, А.В. Коноваленко²⁾

¹⁾Московский технический университет связи и информатики, Москва, Россия

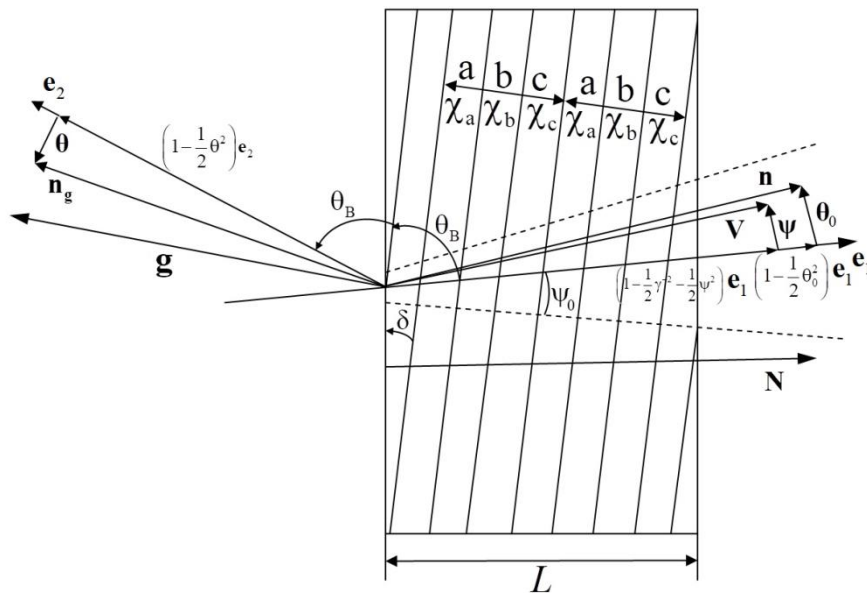
²⁾Белгородский государственный национальный исследовательский университет, Белгород, Россия

Развита динамическая теория когерентного рентгеновского излучения, генерируемого релятивистским электроном в периодической слоистой среде с тремя различными слоями на периоде в геометрии рассеяния Брэгга. В рамках двух волнового приближения динамической теории дифракции получены выражения, описывающие спектрально-угловые и угловые плотности параметрического рентгеновского излучения (ПРИ) и дифрагированного переходного излучения (ДПИ). Исследуется возможность проявления эффектов динамической дифракции в ПРИ релятивистских электронов в периодической слоистой среде с указанной структурой.

Введем угловые переменные ψ , θ и θ_0 в соответствии с определениями скорости релятивистского электрона \mathbf{V} и единичных векторов: \mathbf{n} - в направлении импульса фотона, излученного вблизи направления вектора скорости электрона, и \mathbf{n}_g - в направлении рассеяния Брэгга:

$$\mathbf{V} = \left(1 - \frac{1}{2}\gamma^{-2} - \frac{1}{2}\psi^2\right)\mathbf{e}_1 + \psi, \quad \mathbf{e}_1\psi = 0, \quad \mathbf{n} = \left(1 - \frac{1}{2}\theta_0^2\right)\mathbf{e}_1 + \theta_0, \quad \mathbf{e}_1\theta_0 = 0, \quad \mathbf{e}_1\mathbf{e}_2 = \cos 2\theta_B, \quad \mathbf{n}_g = \left(1 - \frac{1}{2}\theta^2\right)\mathbf{e}_2 + \theta, \quad \mathbf{e}_2\theta = 0, \quad (1)$$

где θ - угол излучения, отсчитываемый от оси детектора излучения \mathbf{e}_2 , ψ - угол отклонения рассматриваемого электрона в пучке, отсчитываемый от оси электронного пучка \mathbf{e}_1 , θ_0 - угол между направлением распространения падающего фотона и осью \mathbf{e}_1 , $\gamma = 1/\sqrt{1-V^2}$ - Лоренц-фактор электрона. Угловые переменные рассматриваются в виде суммы составляющих параллельных и перпендикулярных плоскости рисунка: $\theta = \theta_{\parallel} + \theta_{\perp}$, $\theta_0 = \theta_{0\parallel} + \theta_{0\perp}$, $\psi = \psi_{\parallel} + \psi_{\perp}$. Вектор \mathbf{g} (Рис.1) аналогичен вектору обратной решетке в кристалле - он перпендикулярен слоям мишени и его длина равна $g = \frac{2\pi}{T}n$.



Получены параметры динамического рассеяния рентгеновских волн в периодической слоистой среде:

$$v^{(s)} = \frac{C^{(s)}}{\pi} \frac{\sqrt{(1-\delta'_{ab})\delta'_1 \sin^2(I_1\pi) + (\delta'_{ab}-1)\delta'_2 \sin^2(I_2\pi) + \delta'_1\delta'_2 \sin^2(I_3\pi)}}{I_2 \left| \frac{a}{b} \delta'_{ab} + 1 + \frac{a}{b} \left(\frac{a}{c}\right)^{-1} \frac{\delta'_{ab}}{\delta'_{ac}} \right|}, \quad \text{- параметр рассеяния} \quad 0 \leq v^{(s)} \leq 1 \quad (2)$$

$$\rho^{(s)} = \frac{\pi}{C^{(s)}} \frac{I_2 \left| \frac{a}{b} \rho_a + \rho_b + \frac{a}{b} \left(\frac{a}{c}\right)^{-1} \rho_c \right|}{\sqrt{(1-\delta'_{ab})\delta'_1 \sin^2(I_1\pi) + (\delta'_{ab}-1)\delta'_2 \sin^2(I_2\pi) + \delta'_1\delta'_2 \sin^2(I_3\pi)}}, \quad \text{- параметр поглощения} \quad \rho^{(s)} \geq 0 \quad (3)$$

$$\kappa^{(s)} = \frac{C^{(s)}}{\pi} \frac{\sqrt{(\rho_1 \sin^2(I_1\pi) + \rho_2 \sin^2(I_2\pi) + \rho_3 \sin^2(I_3\pi))}}{I_2 \left| \frac{a}{b} \rho_a + \rho_b + \frac{a}{b} \left(\frac{a}{c}\right)^{-1} \rho_c \right|}, \quad \text{параметр расположения стоячей волны} \quad 0 \leq \kappa^{(s)} \leq 1 \quad (4)$$

$$\delta'_1 = \frac{\delta'_{ab}}{\delta'_{ac}} - \delta'_{ab}, \quad \delta'_2 = \frac{\delta'_{ab}}{\delta'_{ac}} - 1, \quad \delta'_{ab} = \frac{\chi'_a}{\chi'_b}, \quad \delta'_{ac} = \frac{\chi'_a}{\chi'_c}, \quad I_1 = \left(1 + \left(\frac{a}{c}\right)^{-1} + \left(\frac{a}{b}\right)^{-1}\right)^{-1}, \quad I_2 = \left(1 + \frac{a}{b} + \frac{a}{b} \left(\frac{a}{c}\right)^{-1}\right)^{-1}, \quad I_3 = \left(1 + \frac{a}{c} + \frac{a}{c} \left(\frac{a}{b}\right)^{-1}\right)^{-1},$$

$$\rho_a = \frac{\chi_a''}{|\chi_b'|}, \rho_b = \frac{\chi_b''}{|\chi_b'|}, \rho_c = \frac{\chi_c''}{|\chi_b'|}, \rho_1 = (\rho_a - \rho_b)(\rho_a - \rho_c), \rho_2 = (\rho_b - \rho_a)(\rho_b - \rho_c), \rho_3 = (\rho_c - \rho_a)(\rho_c - \rho_b). \quad (5)$$

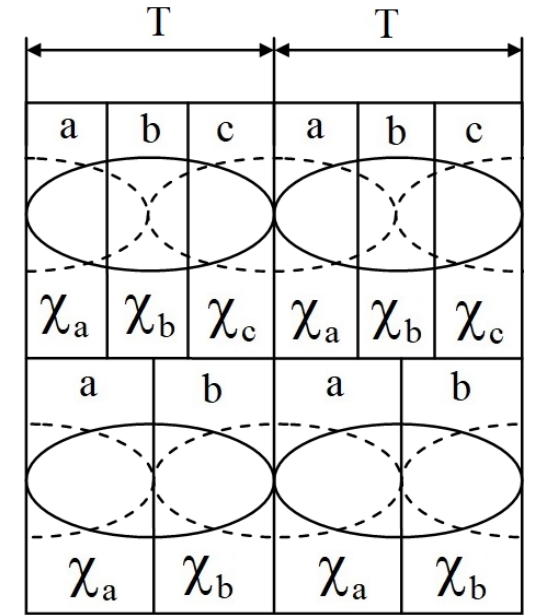
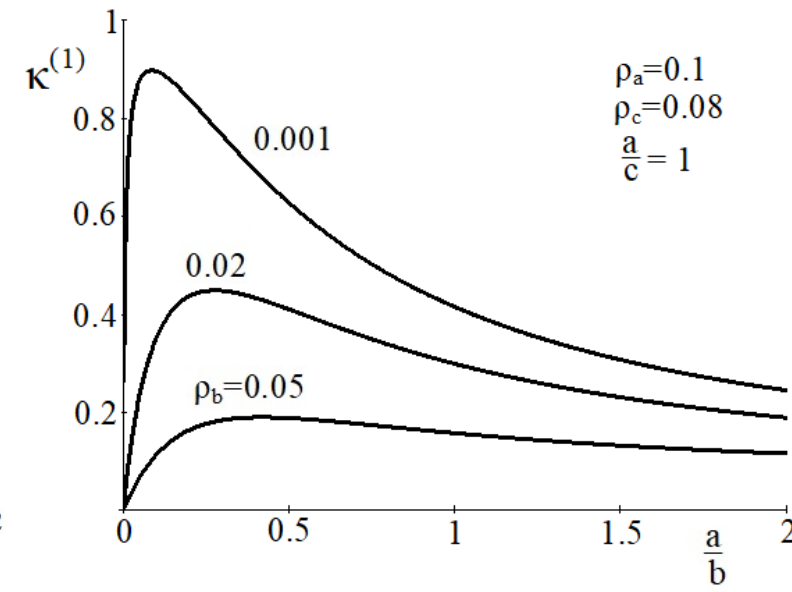
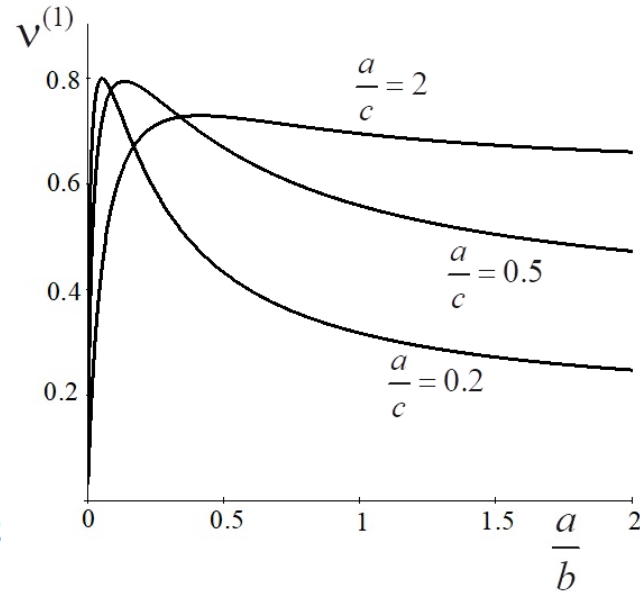
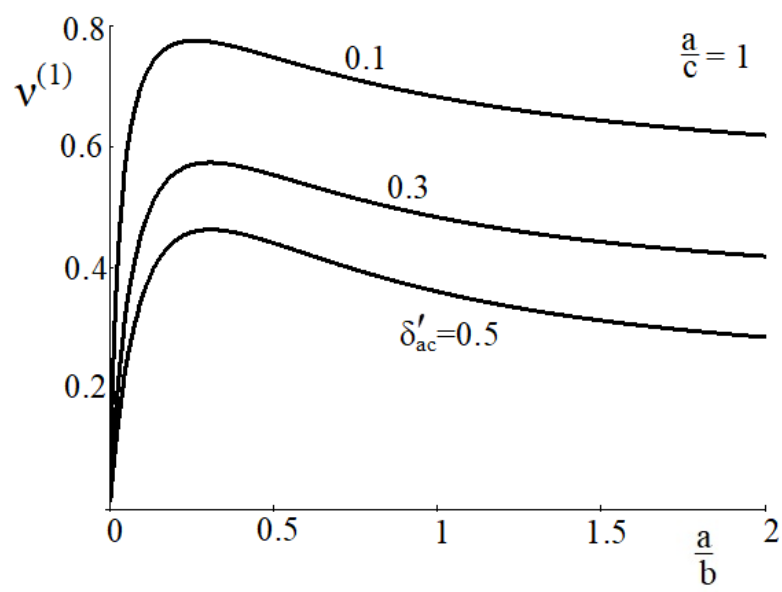


Рис.2. Зависимость параметра отражения $v^{(1)}$ от отношения a/b для разных значений δ'_{ac} . Параметры: $a/c = 1, \delta'_{ab} = 3$.

Рис.3 Зависимость параметра отражения $v^{(1)}$ от a/b , для разных отношений a/c . Параметры: $\delta'_{ab} = 3, \delta'_{ac} = 0.1$.

Рис. 4. Зависимость параметра $\kappa^{(1)}$ от соотношения толщин слоев a/b , для различных параметров ρ_b .

Рис. 5. Расположение двух стоячих рентгеновских волн в периодической слоистой среде, для трех (a,b,c) и двух (a,b) различных слоев на периоде T.

Получены выражения, описывающие спектрально-угловую и угловую плотности ПРИ и ДПИ:

$$\omega \frac{d^3 N_{PXR}^{(s)}}{d\omega d\theta_{\perp} d\theta_{\parallel}} = \frac{e^2}{\pi^2} \frac{\Omega^{(s)2}}{(\gamma^{-2} + (\theta_{\perp} - \psi_{\perp})^2 + (\theta_{\parallel} + \psi_{\parallel})^2 - \chi_0')^2} R_{PXR}^{(s)}, \quad \omega \frac{d^3 N_{DTR}^{(s)}}{d\omega d\theta_{\perp} d\theta_{\parallel}} = \frac{e^2}{\pi^2} \Omega^{(s)2} \left(\frac{1}{\gamma^{-2} + (\theta_{\perp} - \psi_{\perp})^2 + (\theta_{\parallel} + \psi_{\parallel})^2} - \frac{1}{\gamma^{-2} + (\theta_{\perp} - \psi_{\perp})^2 + (\theta_{\parallel} + \psi_{\parallel})^2 - \chi_0'} \right)^2 R_{DTR}^{(s)},$$

$$R_{PXR}^{(s)} = \frac{G^{(s)}}{F^{(s)} \cdot D^{(s)}} \left(\left(1 - e^{-\frac{F_2 + \rho_{B^{(s)}}}{\varepsilon}} \right)^2 + 4e^{-\frac{F_2 + \rho_{B^{(s)}}}{\varepsilon}} \cdot \sin \left(\frac{D_0^{(s)}}{2} B^{(s)} \right) \right)^2$$

$$R_{DPI}^{\xi^2 > \varepsilon} = \varepsilon^2 \cdot \frac{e^{-\frac{2N^{(s)}}{\varepsilon} B^{(s)}} + e^{\frac{2N^{(s)}}{\varepsilon} B^{(s)}} - 2 \cdot \cos \left(\frac{2}{\varepsilon} \left(\sqrt{\xi^{(s)2} - \varepsilon} + F_{\rho}^{(s)} \right) B^{(s)} \right)}{M_1^{(s)}}$$

$$R_{DPI}^{\xi^2 < \varepsilon} = \varepsilon^2 \cdot \frac{e^{\frac{2\sqrt{\varepsilon - \xi^{(s)2}} + F_{\rho}^{(s)}}{\varepsilon} B^{(s)}} + e^{-\frac{2\sqrt{\varepsilon - \xi^{(s)2}} + F_{\rho}^{(s)}}{\varepsilon} B^{(s)}} - 2 \cdot \cos \left(\frac{2N^{(s)}}{\varepsilon} B^{(s)} \right)}{M_2^{(s)}}$$

$$\Omega^{(1)} = \theta_{\perp} - \psi_{\perp}, \Omega^{(2)} = \theta_{\parallel} + \psi_{\parallel}, \Omega_{\pm}^{(s)} = \varepsilon \left((\sigma^{(s)} - i\rho^{(s)}) \cdot e^{-ib^{(s)}\Delta_{\pm}^{(s)}} + \Delta_{\pm}^{(s)} \right), \Gamma = \gamma^{-2} + (\theta_{\perp} - \psi_{\perp})^2 + (\theta_{\parallel} + \psi_{\parallel})^2, \sigma^{(s)} = \frac{1}{v^{(s)}|\chi_0'|} \left(\gamma^{-2} + (\theta_{\perp} - \psi_{\perp})^2 + (\theta_{\parallel} + \psi_{\parallel})^2 + |\chi_0'| \right), \Delta_{\pm}^{(s)} = \frac{\xi^{(s)} \pm K^{(s)}}{\varepsilon} - \sigma^{(s)} + i \frac{\rho^{(s)}(\varepsilon - 1)}{2\varepsilon},$$

$$\chi_0' = \frac{a}{T} \chi_a' + \frac{b}{T} \chi_b' + \frac{c}{T} \chi_c' = \chi_b' \left(\delta'_{ab} I_1 + I_2 + \frac{\delta'_{ab}}{\delta'_{ac}} I_3 \right), P_{\pm}^{(s)} = \xi^{(s)} \pm K^{(s)} - i\rho^{(s)} \frac{1 + \varepsilon}{2}, B^{(s)} = \frac{1}{2 \sin(\delta + \theta_B)} \frac{L}{L_{ext}} \cdot \xi^{(s)}(\omega) = \eta^{(s)}(\omega) + \frac{1 + \varepsilon}{2v^{(s)}}, \eta^{(s)}(\omega) = \frac{2\pi^2 L_{ext}^{(s)}}{V^2 T^2 \omega_B} \left(1 - \frac{\omega}{\omega_B} \left(1 - \theta_{\parallel} \sqrt{\frac{T^2 \omega_B^2}{\pi^2} - 1} \right) \right),$$

$$L_{ext}^{(s)} = \frac{\pi}{C^{(s)} \omega |\chi'_b| \sqrt{(1-\delta'_{ab})\delta'_1 \sin^2(I_1\pi) + (\delta'_{ab}-1)\delta'_2 \sin^2(I_2\pi) + \delta'_1\delta'_2 \sin^2(I_3\pi)}}, \quad K^{(s)} = \sqrt{\xi^{(s)2} - \varepsilon - i\rho^{(s)}((1+\varepsilon)\xi^{(s)} - 2\kappa^{(s)}\varepsilon) - \rho^{(s)2} \left(\frac{(1+\varepsilon)^2}{4} - \kappa^{(s)2}\varepsilon \right)}, \quad \varepsilon = \frac{\sin(\theta_B - \delta)}{\sin(\theta_B + \delta)}, \quad \delta'_1 = \frac{\delta'_{ab}}{\delta'_{ac}} - \delta'_{ab}, \quad \delta'_2 = \frac{\delta'_{ab}}{\delta'_{ac}} - 1,$$

$$\delta'_{ab} = \frac{\chi'_a}{\chi'_b}, \quad \delta'_{ac} = \frac{\chi'_a}{\chi'_c}, \quad I_1 = \left(1 + \left(\frac{a}{c} \right)^{-1} + \left(\frac{a}{b} \right)^{-1} \right)^{-1}, \quad I_2 = \left(1 + \frac{a}{b} + \frac{a}{b} \left(\frac{a}{c} \right)^{-1} \right)^{-1}, \quad I_3 = \left(1 + \frac{a}{c} + \frac{a}{c} \left(\frac{a}{b} \right)^{-1} \right)^{-1},$$

$$G^{(s)} = \varepsilon^2 \left(\left(\sigma^{(s)2} + \rho^{(s)2} \right) e^{2 \frac{F_1^{(s)} - \rho^{(s)}}{\varepsilon} B^{(s)}} + D^{(s)} + 2 \left(\left(\sigma^{(s)} D_0^{(s)} + \rho^{(s)} \left(\frac{F_2^{(s)} + \rho^{(s)}}{\varepsilon} \right) \right) \cos \left(\frac{\Sigma_2^{(s)} - \varepsilon \sigma^{(s)}}{\varepsilon} B^{(s)} \right) - \left(\rho^{(s)} D_0^{(s)} - \sigma^{(s)} \left(\frac{F_2^{(s)} + \rho^{(s)}}{\varepsilon} \right) \right) \sin \left(\frac{\Sigma_2^{(s)} - \varepsilon \sigma^{(s)}}{\varepsilon} B^{(s)} \right) \right) e^{\frac{F_1^{(s)} - \rho^{(s)}}{\varepsilon} B^{(s)}} \right) \\ \times \cos \left(\frac{\Sigma_2^{(s)} - \varepsilon \sigma^{(s)}}{\varepsilon} B^{(s)} \right) - \left(\rho^{(s)} D_0^{(s)} - \sigma^{(s)} \left(\frac{F_2^{(s)} + \rho^{(s)}}{\varepsilon} \right) \right) \sin \left(\frac{\Sigma_2^{(s)} - \varepsilon \sigma^{(s)}}{\varepsilon} B^{(s)} \right) e^{\frac{F_1^{(s)} - \rho^{(s)}}{\varepsilon} B^{(s)}} \right),$$

$$F^{(s)} = \left[\Sigma_2^{(s)2} + F_2^2 \right] e^{-2 \frac{F_2 + \rho^{(s)}}{\varepsilon} B^{(s)}} + \left[\Sigma_1^{(s)2} + F_1^2 \right] e^{2 \frac{F_1 - \rho^{(s)}}{\varepsilon} B^{(s)}} - 2 e^{\frac{\varepsilon - 1}{\varepsilon} \rho^{(s)} B^{(s)}} \times \left(\left[\Sigma_1^{(s)} \Sigma_2^{(s)} - F_1^{(s)} F_2^{(s)} \right] \cos \left(\frac{2B^{(s)} \left(\sqrt{\xi^{(s)2} - \varepsilon} + F_\rho^{(s)} \right)}{\varepsilon} \right) + \left[F_1^{(s)} \Sigma_2^{(s)} + F_2^{(s)} \Sigma_1^{(s)} \right] \sin \left(\frac{2B^{(s)} \left(\sqrt{\xi^{(s)2} - \varepsilon} + F_\rho^{(s)} \right)}{\varepsilon} \right) \right),$$

$$D^{(s)} = D_0^{(s)2} + \left(\frac{F_2 + \rho}{\varepsilon} \right)^2, \quad D_0^{(s)} = \frac{\xi^{(s)} + \sqrt{\xi^{(s)2} - \varepsilon} - \varepsilon \sigma^{(s)} + F_\rho}{\varepsilon}, \quad F_{1,2}^{(s)} = \frac{\rho^{(s)}}{2} \left(\frac{(1+\varepsilon) \left(\xi^{(s)} \pm \sqrt{\xi^{(s)2} - \varepsilon} \right) - 2\kappa^{(s)}\varepsilon}{\sqrt{\xi^{(s)2} - \varepsilon}} \right), \quad F_\rho^{(s)} = \frac{\rho^{(s)2}}{2\sqrt{|\xi^{(s)2} - \varepsilon|}} \left(\frac{(1+\varepsilon)^2}{4} - \kappa^{(s)2}\varepsilon \right),$$

$$\Sigma_1^{(s)} = \xi^{(s)} + \sqrt{\xi^{(s)2} - \varepsilon} + F_\rho^{(s)}, \quad \Sigma_2^{(s)} = \xi^{(s)} - \sqrt{\xi^{(s)2} - \varepsilon} - F_\rho^{(s)}.$$

$$M_1^{(s)} = \left[\Sigma_2^{(s)2} + F_2^2 \right] e^{-2 \frac{N^{(s)}}{\varepsilon} B^{(s)}} + \left[\Sigma_1^{(s)2} + F_1^2 \right] e^{2 \frac{N^{(s)}}{\varepsilon} B^{(s)}} - 2 \left[\Sigma_1^{(s)} \Sigma_2^{(s)} + F_1^{(s)} F_2^{(s)} \right] \cos \left(\frac{2B^{(s)} \left(\sqrt{\xi^{(s)2} - \varepsilon} + F_\rho^{(s)} \right)}{\varepsilon} \right) - 2 \left[2N^{(s)}\xi^{(s)} - \rho^{(s)}(1+\varepsilon)\sqrt{\xi^{(s)2} - \varepsilon} \right] \sin \left(\frac{2B^{(s)} \left(\sqrt{\xi^{(s)2} - \varepsilon} + F_\rho^{(s)} \right)}{\varepsilon} \right),$$

$$N^{(s)} = \frac{\rho^{(s)}}{2} \left(\frac{(1+\varepsilon)\xi^{(s)} - 2\kappa^{(s)}\varepsilon}{\sqrt{|\xi^{(s)2} - \varepsilon|}} \right), \quad N_1^{(s)} = \sqrt{\varepsilon - \xi^{(s)2}} + \rho^{(s)} \frac{\varepsilon + 1}{2}, \quad N_2^{(s)} = \sqrt{\varepsilon - \xi^{(s)2}} - \rho^{(s)} \frac{\varepsilon + 1}{2}$$

Угловые плотности ПРИ и ДПИ:

$$\frac{d^2 N_{PXR}^{(s)}}{d\theta_\perp d\theta_\parallel} = \frac{e^2 v^{(s)} |\chi'_0|}{2\pi^2 \sin^2 \theta (\gamma^{-2} + (\theta_\perp - \psi_\perp)^2 + (\theta_\parallel + \psi_\parallel)^2 - \chi'_0)^2} \frac{\Omega^{(s)2}}{\sqrt{\varepsilon - \frac{1+\varepsilon}{2v^{(s)}}}} \int_{-\infty}^{\infty} R_{PXR}^{(s)} d\eta^{(s)},$$

$$\frac{d^2 N_{DTR}^{(s)}}{d\theta_\perp d\theta_\parallel} = \frac{e^2 v^{(s)} |\chi'_0|}{2\pi^2 \sin^2 \theta} \Omega^{(s)2} \left(\frac{1}{\gamma^{-2} + (\theta_\perp - \psi_\perp)^2 + (\theta_\parallel + \psi_\parallel)^2} - \frac{1}{\gamma^{-2} + (\theta_\perp - \psi_\perp)^2 + (\theta_\parallel + \psi_\parallel)^2 - \chi'_0} \right)^2 \int_{-\infty}^{\infty} R_{DTR}^{(s)} d\eta^{(s)},$$

Численные расчеты.

Далее исследуем спектрально-угловые и угловые плотности ПРИ и ДПИ. Положим угол между осью пучка релятивистских электронов и отражающими слоями (угол Брэгга) $\theta_B = 2.25^\circ$, при этом частота Брэгга $\omega_B = 8 \text{ кэВ}$. Период слоистой среды положим равным $T = a + b + c = 0.002 \text{ мкм}$. Действительную часть диэлектрической восприимчивости, положим при рассматриваемой частоте излучения как у углерода: $\chi'_b = -2.25 \cdot 10^{-5}$.

Зависимость ПРИ и ДПИ от толщины мишени и энергии электронов.

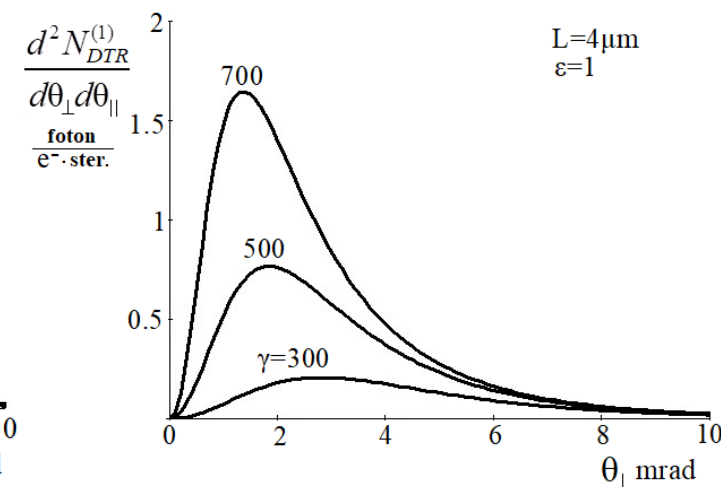
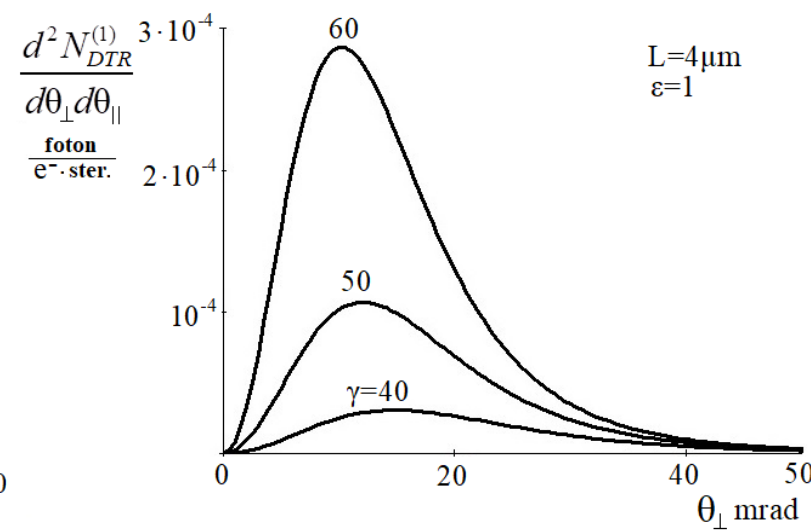
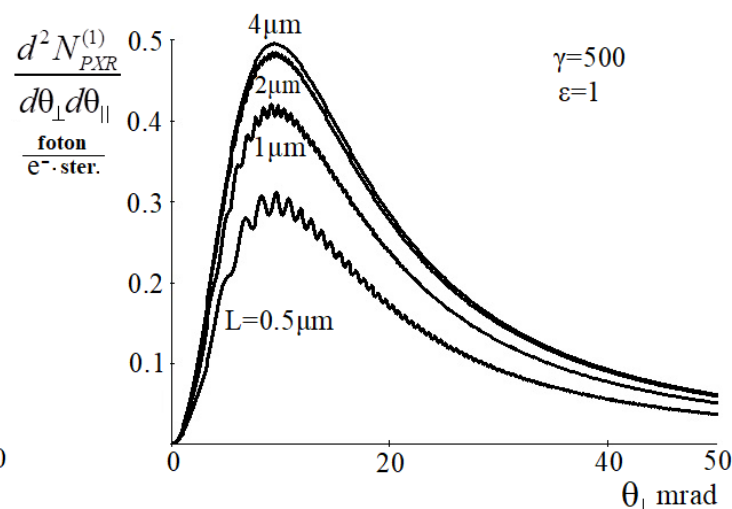
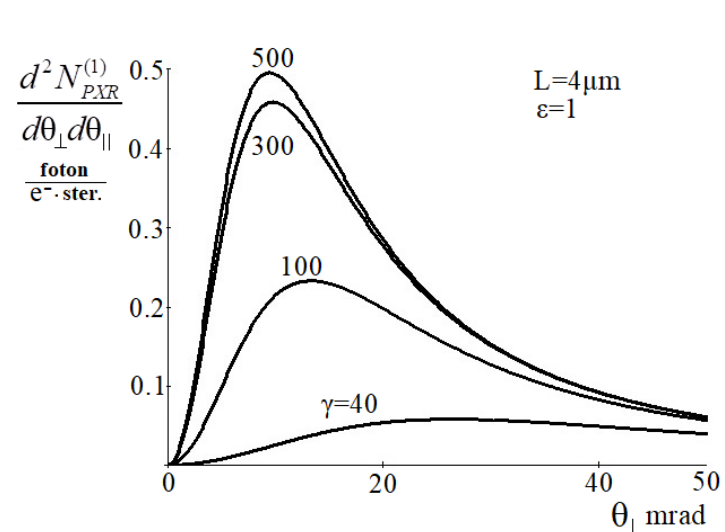


Рис.6. Угловые плотности ПРИ для различных энергий релятивистских электронов.

$$\delta'_{ab} = \frac{\chi'_a}{\chi'_b} = 3, \quad \delta'_{ac} = \frac{\chi'_a}{\chi'_c} = 0.5, \quad \frac{a}{b} = 1, \quad \frac{a}{c} = 1, \\ \rho_a = 0.1, \quad \rho_b = 0.05, \quad \rho_c = 0.08.$$

Рис.7. Угловые плотности ПРИ для различных толщин мишени.

$$\delta'_{ab} = 3, \quad \delta'_{ac} = 0.5, \quad \frac{a}{b} = 1, \quad \frac{a}{c} = 1, \quad \rho_a = 0.1, \\ \rho_b = 0.05, \quad \rho_c = 0.08.$$

Рис.8. Угловые плотности ДПИ для различных энергий релятивистских электронов.

$$\delta'_{ab} = 3, \quad \delta'_{ac} = 0.5, \quad \frac{a}{b} = 1, \quad \frac{a}{c} = 1, \quad \rho_a = 0.1, \\ \rho_b = 0.05, \quad \rho_c = 0.08.$$

Рис.9. Угловые плотности ДПИ для различных энергий релятивистских электронов.

$$\delta'_{ab} = 3, \quad \delta'_{ac} = 0.5, \quad \frac{a}{b} = 1, \quad \frac{a}{c} = 1, \quad \rho_a = 0.1, \\ \rho_b = 0.05, \quad \rho_c = 0.08.$$

Эффект аномального фотопоглощения в ПРИ. Аналогичный эффекту Бормана в монокристалле.

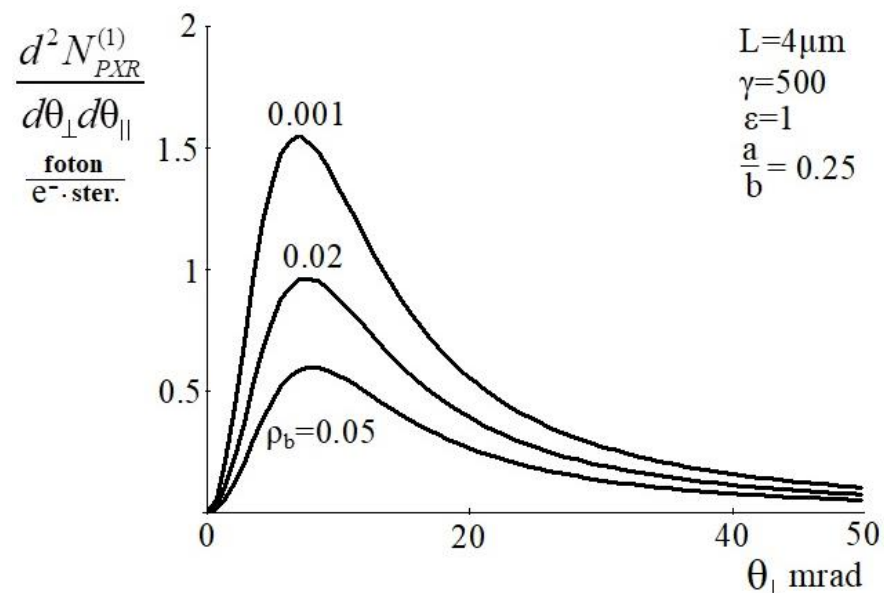
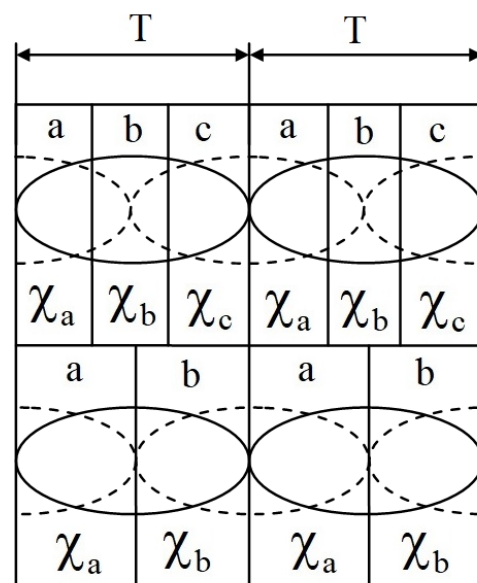


Рис. 10. Расположение двух стоячих рентгеновских волн в периодической слоистой среде, для трех (a,b,c) и двух (a,b) различных слоев на периоде T.

Рис. 11. Эффект аномального фотопоглощения в слоистой структуре. Уменьшение поглощение среднего слоя приводит к резкому росту угловой плотности ПРИ

Влияние асимметрии отражения на ПРИ и ДПИ

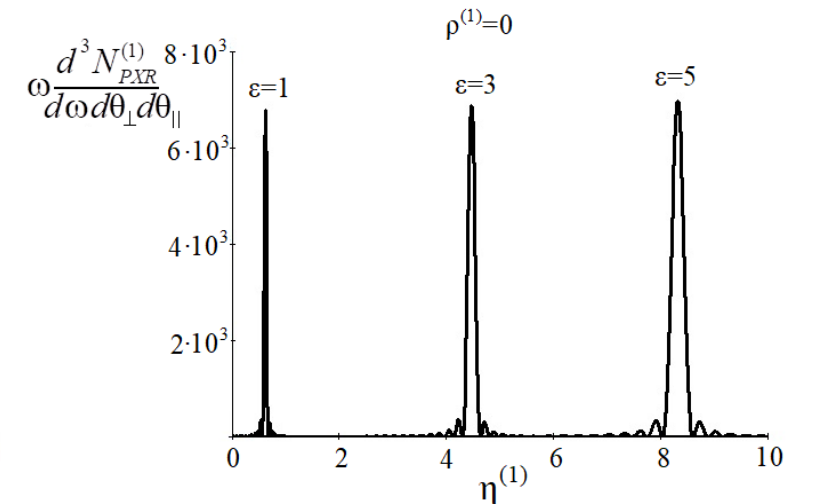
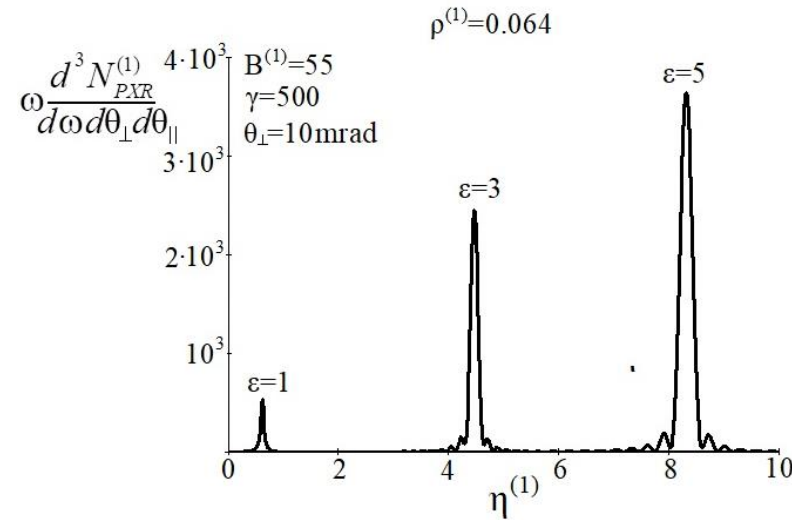
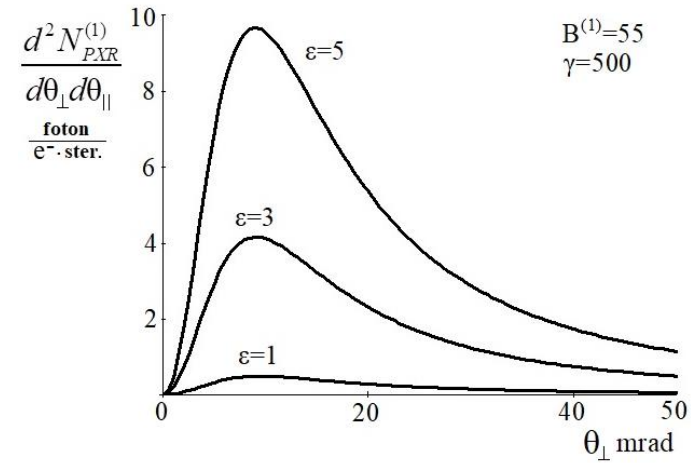
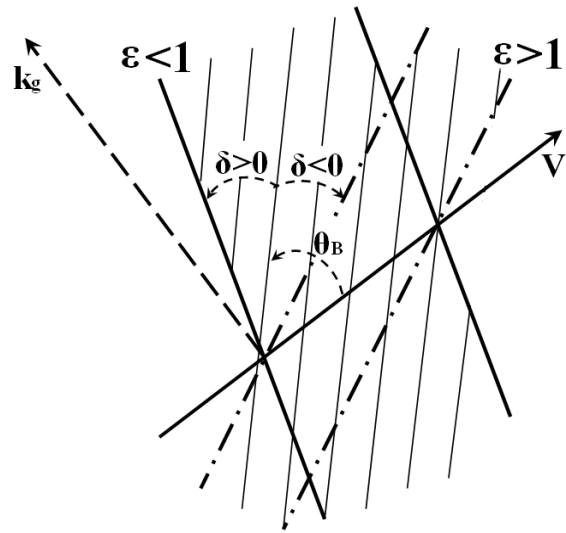


Рис.10. Асимметричные ($\epsilon > 1, \epsilon < 1$) отражения излучения от слоистой структуры в геометрии рассеяния Брэгга. Случай $\epsilon = 1$ ($\delta = 0$) соответствует симметричному отражению.

$$\epsilon = \frac{\sin(\theta_B - \delta)}{\sin(\theta_B + \delta)}$$

Рис.11. Угловые плотности ПРИ для различной асимметрии отражения, при фиксированном пути электрона в мишени. Он определяется параметром

$$B^{(s)} = \frac{1}{2 \sin(\delta + \theta_B)} \frac{L}{L_{ext}^{(s)}}$$

$$\delta'_{ab} = 3, \quad \delta'_{ac} = 0.5, \quad \frac{a}{b} = 1, \quad \frac{a}{c} = 1, \quad \rho_a = 0.1, \\ \rho_b = 0.05, \quad \rho_c = 0.08.$$

Рис.12. Спектрально-угловые плотности ПРИ для различной асимметрии отражения.

$$\delta'_{ab} = 3, \quad \delta'_{ac} = 0.5, \quad \frac{a}{b} = 1, \quad \frac{a}{c} = 1, \quad \rho_a = 0.1, \\ \rho_b = 0.05, \quad \rho_c = 0.08.$$

Рис.13. Тоже, что на рис.12, но без фотопоглощения излучения.

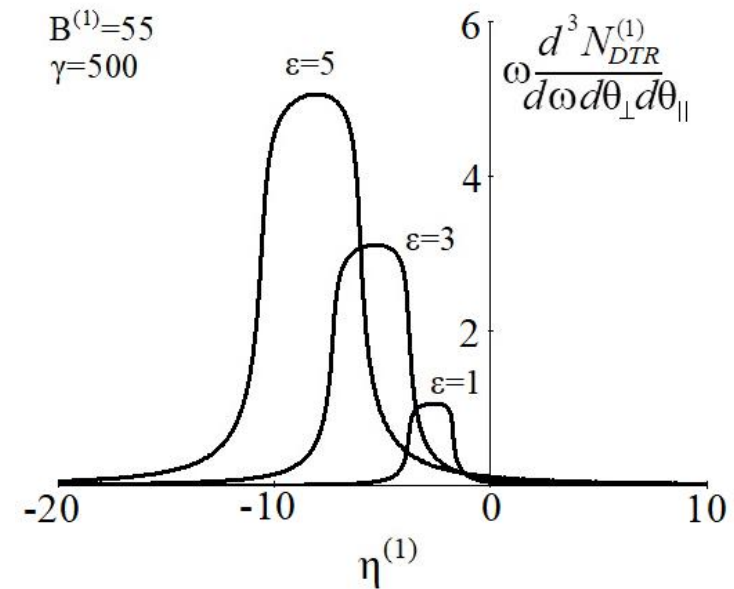
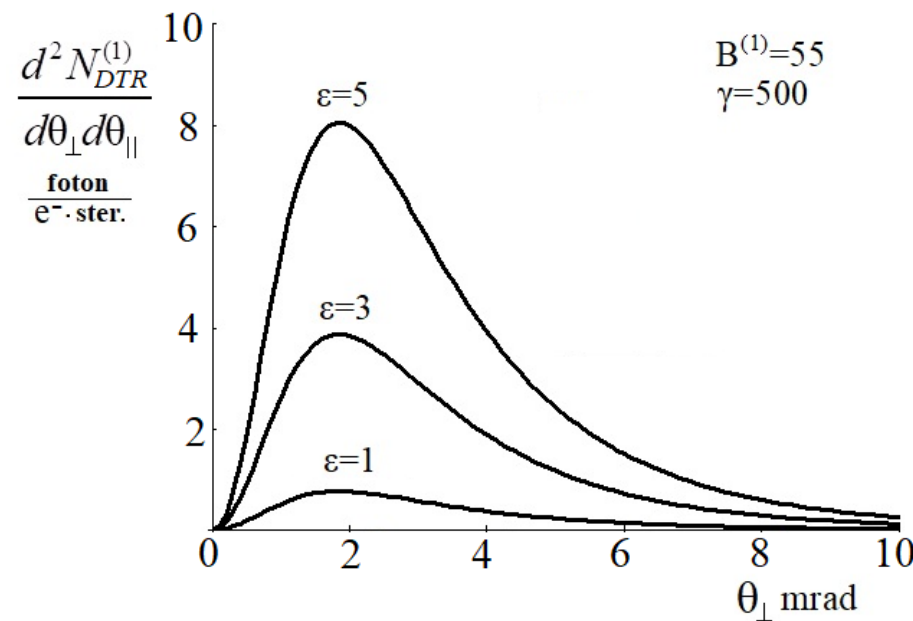


Рис.14. Угловые плотности ДПИ для различной асимметрии отражения, при фиксированном пути электрона в мишени. Параметры те же, что для ПРИ.

Рис. 15. Спектрально-угловые плотности ДПИ для различной асимметрии отражения.

Заключение

В рамках двух волнового приближения динамической теории дифракции получены выражения, описывающие спектрально-угловые и угловые плотности параметрического рентгеновского излучения (ПРИ), дифрагированного переходного излучения (ДПИ) и их интерференцию.

Исследуется возможность проявления эффектов динамической дифракции в КРИ релятивистских электронов в периодической слоистой среде с указанной структурой слоя.

Показана зависимость спектрально-угловых и угловых ПРИ от асимметрии отражения поля электрона относительно поверхности мишени.

Выявлено, что уменьшения угла между скоростью электрона и поверхностью мишени при фиксированном угле Брэгга приводит к значительному росту угловых плотностей ПРИ и ДПИ. Представлена зависимость ширины спектрального пика ДПИ от асимметрии отражения.

Показано, что, меняя параметры слоев рассматриваемой трехслойной структуры, можно влиять на параметры динамического рассеяния рентгеновского излучения, и как следствие на спектрально-угловые и угловые плотности ПРИ и ДПИ.

Показано, что при определенных условиях и параметрах слоистой структуры с тремя слоями на периоде, уменьшение поглощения второго слоя может привести к значительному увеличению спектрально-угловой плотности ПРИ. Этот эффект аналогичен эффекту аномального фотопоглощения (эффекту Бормана) в монокристалле и связан с расположением пучностей стоячей волны в слоистой среде на втором слое трехслойной структуры.